最終報告書

表 題:ペルフルオロオクタデカン酸のほ乳類培養細胞を用いる 染色体異常試験

試験番号: SRO6175

株式会社 化合物安全性研究所

目 次

	Ţ.
表紙 · · · · ·	
目次	
	
	2
	2
	2
Tables and F	igure
Table 1	Effects of perfluorooctadecanoic acid on growth rate of CHL/IU with or
	without metabolic activation (preliminary test) (SR06175) · · · · · 2
Figure 1	Effects of perfluorooctadecanoic acid on growth rate of CHL/IU with or
	without metabolic activation (preliminary test) (SR06175) · · · · · 2
Table 2	Effects of perfluorooctadecanoic acid on growth rate of CHL/IU with or
	without metabolic activation (chromosomal aberration test) (SR06175) · · · · · 3
Table 3	Effects of perfluorooctadecanoic acid on growth rate of CHL/IU with or
	without metabolic activation (preliminary test, retest) (SR06175)····· 3
Figure 2	Effects of perfluorooctadecanoic acid on growth rate of CHL/IU with or
	without metabolic activation (preliminary test, retest) (SR06175)····· 3
Table 4	Effects of perfluorooctadecanoic acid on growth rate of CHL/IU with or
	without metabolic activation (chromosomal aberration test, retest)
	(SR06175) · · · · · · · 3

Table 5-1	Results of the chromosomal aberration test of perfluorooctadecanoic
	acid (6 hours treatment without metabolic activation, retest)
	(SR06175) · · · · · 34
Table 5-2	Results of the chromosomal aberration test of perfluorooctadecanoic
	acid (6 hours treatment with metabolic activation, retest) (SR06175) · · · · · 35
Table 5-3	Results of the chromosomal aberration test of perfluorooctadecanoic
	acid (24 hours treatment without metabolic activation, retest)
	(SR06175) · · · · · 36
Table 6	Effects of perfluorooctadecanoic acid on growth rate of CHL/IU without
	metabolic activation (chromosomal aberration test, confirmatory test)
	(SR06175) · · · · · 37
Table 7	Results of the chromosomal aberration test of perfluorooctadecanoic
	acid (6 hours treatment without metabolic activation, confirmatory
	test) (SR06175) · · · · · · 38

要約

ペルフルオロオクタデカン酸の in vitro における染色体異常誘発性の有無を、チャイニーズハムスター肺由来細胞(CHL/IU)を用いて検討した。試験は、短時間処理法の代謝活性化によらない場合および代謝活性化による場合ならびに連続処理法の24-0h処理による場合の3系列で実施した。

当該試験は、当初、細胞増殖率の測定を細胞染色による比色法で行い、また、常法による標本作製操作を行ったが、カルノア処理液を滴下したスライドに被験物質処理群では最低用量から被験物質の微小な析出が混在してみられ、評価可能な染色体標本を得ることが出来ないと判断し標本作製を中止した。予備試験を含む再試験では、標本作製に際しプレート内の培地は廃棄することとし、また、微細な被験物質の析出が細胞増殖率の計測に影響する可能性も考えられたため細胞増殖率の測定を生細胞数計数による方法へと変更した。要約においては、再試験およびその確認試験の結果について記載する。

予備試験(再試験、細胞増殖抑制試験:19.5~5000 μg/mL)の結果、短時間処理法の代謝活性化によらない場合および連続処理法の24-0 h 処理による場合では50%を超える細胞増殖抑制が認められ、短時間処理法の代謝活性化による場合では細胞増殖への影響はみられなかった。IC50値は、短時間処理法の代謝活性化によらない場合が3948 μg/mL および連続処理法の24-0 h 処理による場合が131 μg/mL であった。被験物質の析出が、試験液処理開始時および処理終了時ともに各試験系列の2500 μg/mL 以上の用量で観察された。また、被験物質による培養液 pH への影響が、試験液処理開始時において各試験系列の5000μg/mL の用量で観察された。

本試験(再試験、染色体異常試験)は、予備試験の結果に基づき、各試験系列とも 5000 μg/mL あるいは IC50より高用量を最高用量とした計 6~10 用量を設定した。また、短時間処理法の代謝活性化によらない場合については、数的異常の誘発性について確認を行うため7用量による確認試験を実施した。

本試験の結果、染色体の構造異常の出現率は、短時間処理法の代謝活性化によらない場合 (評価用量:19.5~2500 μ g/mL) およびその確認試験 (評価用量:2.44~156 μ g/mL)、短時間処理法の代謝活性化による場合 (評価用量:156~5000 μ g/mL) ならびに連続処理法の24-0 h 処理による場合 (評価用量:9.77~78.1 μ g/mL) のいずれの用量においても5%未満であった。

染色体の数的異常の出現率は、短時間処理法の代謝活性化によらない場合の 19.5 および 39.1 μ g/mL の用量でそれぞれ 9.5 および 9.0% (評価最低用量で最大の出現率となり D_{20} 値は算出できなかった)、その確認試験では 39.1 および 78.1 μ g/mL の用量でそれぞれ 6.5 および 5.0% (D_{20} 値: 0.098 μ g/mL)であり、本試験と確認試験で出現率の増加について再現性が確認され軽度ながらも数的異常誘発性を有するものと考えられた。短時間処理法の代謝活性化による場合および連続処理法の 24-0 μ g/mL の用量においても 5%未満であった。

陽性対照群における染色体の構造異常の出現率は各試験系列において明確な陽性値を示し、本試験系が適切な感受性を有していたことが確認された。

以上のことから、ペルフルオロオクタデカン酸は、本試験条件において、ほ乳類の培養 細胞に対し軽度ながらも代謝活性化系なしの条件で数的異常誘発性を有するものと判断し た。

緒言

ペルフルオロオクタデカン酸の in vitro における染色体異常誘発性の有無を検討する目的で、チャイニーズハムスター肺由来細胞(CHL/IU)を用いる染色体異常試験を実施した。

材料および方法

1. 被験物質

名称:ペルフルオロオクタデカン酸

英名 : Perfluorooctadecanoic acid

CAS No. : 16517-11-6

官報公示整理番号 : 2-2658

分子式 : C₁₈IIF₃₅O₂

化学式: CF₃(CF₂)₁₆COOH

分子量: 914.15

物理化学的性質 : 外観 ; 广色粉末

融点 ; 162~164

沸点 : 235/100 mm

溶解性;試験施設において、蒸留水、ジメチルスルホキシド、

アセトンに対する溶解性を事前確認した。確認内容を、

2. 被験物質の調製(12頁)に記載した。

純度 : 98.9% (Appendix)

不純物の名称およびその濃度:不明(データなし)

入手量:1 kg (関連試験と共通)安定性:常温、常圧で安定である。

保存場所 : 検体保存室および変異原性試験室保存条件 : 遮光、室温(実測範囲:18~28℃)

保存期間 : 2007 年 10 月 12 日(受入)~2008 年 9 月 8 日(最終使用日)

取扱上の注意 :吸い込んだり眼に触れないように、適切な保護具を着用した。

残余被験物質の処置 : 焼却処分するために、産業廃棄物として回収した。

2. 被験物質の調製

試験施設における溶解性確認において、被験物質は蒸留水(日本薬局方注射用水、50 mg/mL の濃度まで検討)に懸濁し反応性はみられなかった。アセトンには 150 mg/mL の濃度で懸濁し反応性はみられず、それ以上の濃度は不溶であった。ジメチルスルホキシド(50 mg/mL の濃度まで検討)には不溶であった。従って、当該試験の溶媒として日本薬局方注射用水を選択した。

被験物質を精秤し、日本薬局方注射用水(ロット番号 7C95、株式会社大塚製薬工場) を用いて溶解ならびに希釈し、所定の濃度に調製した。

予備試験およびその再試験では 50 mg/mL 調製液を調製し、50 mg/mL 調製液から公比 2 の段階希釈により 25、12.5、6.25、3.13、1.56、0.781、0.391 および 0.195 mg/mL 調製液を調製した。

本試験では 50 mg/mL 調製液を調製し、50 mg/mL 調製液から公比 2 の段階希釈により 25、12.5、6.25 および 3.13 mg/mL 調製液を調製した。また、50 mg/mL 調製液より 37.5 および 18.75 mg/mL 調製液を調製した。

本試験の再試験では 50 mg/mL 調製液を調製し、50 mg/mL 調製液から公比 2 の段階希釈により 25、12.5、6.25、3.13、1.56、0.781、0.391、0.195 および 0.0977mg/mL 調製液を調製した。また、50 mg/mL 調製液より 37.5 mg/mL 調製液を調製した。

確認試験では 6.25 mg/mL 調製液を調製し、6.25 mg/mL 調製液から公比 2 の段階希釈により 3.13、1.56、0.781、0.391、0.195、0.0977、0.0488 および <math>0.0244 mg/mL 調製液を調製した。なお、6.25 および 3.13 mg/mL 調製液は処理には使用しなかった。

調製液の安定性では、予備試験、本試験および確認試験ともに、被験物質調製時の 口視確認において媒体との反応性(変色、発熱、発泡等)はみられなかった。

被験物質調製液は、予備試験および本試験では調製後 1.0 時間以内に、予備試験の 再試験では調製後 0.9 時間以内に、本試験の再試験では調製後 1.4 時間以内に、確認 試験では調製後 1.3 時間以内に使用した。

調製はクリーンベンチ内で行い、調製に際してはマスクおよび手袋を着用し、吸引 または眼、皮膚および衣類に触れないようにして取扱った。残余調製液は、焼却処分 するために、産業廃棄物として回収した。

3. 陰性対照物質

陰性対照物質として、被験物質の調製媒体である日本薬局方注射用水(ロット番号 7095、株式会社大塚製薬工場)を使用した。

日本薬局方注射用水は原液のまま使用し、プレート内の液に対し 10 vol%の割合で添加した。

4. 陽性対照物質

代謝活性化によらない場合の陽性対照物質として、マイトマイシン C [ロット番号 448ADJ(使用期限 2008 年 10 月)および 498AFJ(使用期限 2010 年 10 月)、協和醗酵工業株式会社)を使用した。マイトマイシン C は、購入後室温で保存し、日本薬局方注射用水(ロット番号 7C95、株式会社大塚製薬工場)を用いて 5 および 10 μ g/mL の濃度に調製した。購入したマイトマイシン C は、1 瓶中に日局マイトマイシン C を 2 mg(力価)含有しており、調製の際には 1 mg(力価)を 1 mg として換算した。

代謝活性化による場合の陽性対照物質として、ベンゾ [a] ピレン [ロット番号 KLM1182、使用期限 2009 年 8 月 (購入より 5 年)、和光純薬工業株式会社] を使用した。ベンゾ [a] ピレンは、購入後冷所 (2~8℃) で保存し、ジメチルスルホキシド (ロット番号 TA026、株式会社同仁化学研究所) を用いて 1 mg/mL の濃度に調製した。なお、購入したベンゾ [a] ピレンの含量は 101.0%であった。

陽性対照物質の各調製液は-20℃以下で分注凍結保存し、調製後 10 ヵ月以内に試験に 使用した(使用期限は調製後 1 年)。保存調製液は解凍後 0.8 時間以内に使用した。

陽性対照物質は、それぞれプレート内の液に対し1 vol%の割合で添加した。

5. 試験系

試験系として、2005 年 5 月 17 日に大日本製薬株式会社より継代数 14 で入手した CHL/IU を使用した。CHL/IU は、雌性の新生チャイニーズハムスターの肺に由来し、染色体数(モード)は 25 本(2n=22)、倍加時間の測定値は 13.6 時間である。本細胞は、増殖速度、継代における染色体の安定性、染色体標本の観察の容易さおよび既知の変異原物質に対する感受性を考慮して選択した。また、供試細胞と同時に凍結保存した細胞を用いて蛍光染色法によりマイコプラズマチェックを行い、陰性であることを確認した。

細胞の保存に際しては、 $10 \text{ vol}\%ジメチルスルホキシドを含む培地を用いて <math>1\times10^6$ cells/mL 細胞浮遊液を調製し、1 mL ずつアンプルに分注したものを漸次冷却して凍結させた後、液体窒素内に保存した。解凍後は、 75 cm^2 培養フラスコを用いて $5.0\%\text{CO}_2$ 、37.0% に設定した CO_2 インキュベーター(MCO-175、三洋電機株式会社)内で培養し、3 または 4 日毎に継代を行った。試験では、継代数 17(予備試験、再試験の予備試験および確認試験)あるいは 21(本試験および本試験の再試験)の細胞を使用した。

6. 培地

イーグル MEM 培地を以下の割合で混合し調製した。

イーグル MEM 培地 (Code 05902、ロット番号 53970511、574709 および 592804、日水製薬株式会社) 9.4 g を日本薬局方注射用水 (ロット番号 7C95 および 7K81、株式会社大塚製薬工場) に溶解し、さらにフェノールレッド (ロット番号 PKF3307、和光純薬工業株式会社) 6 mg を加え、全量を 1 L とした。オートクレーブ滅菌後、室温まで冷却し、滅菌済みの炭酸水素ナトリウム(試薬特級、ロット番号 609F1546 および 905X1946、関東化学株式会社)溶液で pli7.2~7.4 に調整し、ろ過除菌した L-グルタミン溶液 (試薬特級、L-グルタミン:ロット番号 SDJ5850 および LTP5417、和光純薬工業株式会社)を 0.292 g/L となるように添加した。さらに牛胎児血清 (ロット番号 1355894 および 1361699、GIBC0)を最終調製量の 10%になるように加えた。なお、牛胎児血清は 56℃で 30 分間非働化した後に使用した。

7. S9 mix

S9 mix はキッコーマン株式会社より購入し[ロット番号 CAM-568(2007年11月16日製造、予備試験および本試験)および CAM-572(2008年2月22日製造、予備試験の再試験、本試験の再試験および確認試験)]、-80[°]C以下で凍結保存したものを、製造日より4ヵ月以内(使用期限:製造後6ヵ月)に使用した。

S9 mix は、フェノバルビタールおよび 5,6-ベンゾフラボンの腹腔内投与で酵素誘導した S1c:SD 系ラット(雄、7 週齢)の肝ホモジネートより調製した S9 1.05 mL に、コファクターミックス 2.45 mL を加え、次表の組成に調製されたものである。

	S9 mix 1 mL中の組成	
S9	[キッコーマン株式会社製 RAA-568(S9 中蛋白含	0.3 mL
	量 27. 25 mg/mL:CAM-568) および RAA-572(S9 中	
	蛋白含量 24.86 mg/mL:CAM-572)]	
${\tt MgCl_2}$	(和光純楽工業株式会社 SDN0075)	$5~\mu\text{mol}~/0.1~\text{mL}$
KC1	[和光純楽工業株式会社 SDQ5562(CAM-568)およ	$33~\mu\text{mol}~/0.1~\text{mL}$
	び WKQ3733 (CAM-572)]	
G-6-P	[オリエンタル酵母工業株式会社	$5~\mu\text{mol}~/0.1~\text{mL}$
	118701(CAM-568)および118703(CAM-572)]	
NADP	[オリエンタル酵母工業株式会社	$4 \mu mol /0.1 mL$
	045704(CAM-568)および 045714(CAM-572)]	
HEPES 緩衝液	(株式会社同仁化学研究所 PE026]	$4 \mu mol /0.2 mL$
蒸留水		0.1 mL

8. 試験方法

(1) 予備試験(細胞增殖抑制試験)

1) 試験群

当初試験および再試験ともに、短時間処理法の代謝活性化によらない場合および代謝活性化による場合ならびに連続処理法の 24-0 h 処理による場合の 3 系列について実施した。

被験物質の最高用量を 5000 μ g/mL とし、以下公比 2 で低下させた計 9 用量(5000、2500、1250、625、313、156、78.1、39.1 および 19.5 μ g/mL)の試験群を設定した。 更に、試験系列毎に陰性対照群を設定した。

各群につき2枚のプレートを使用し、各プレートには識別番号を明記した。

2) 細胞の播種

直径 60 mm の培養プレートに、短時間処理法の代謝活性化によらない場合および連続処理法の 24–0 h 処理による場合では $0.4 \times 10^4 \text{ cells/mL}$ 、短時間処理法の代謝活性化による場合では $0.6 \times 10^4 \text{ cells/mL}$ の細胞浮遊液をそれぞれ 5 mL ずつ播種し、5.0% $C0_2$ 、37.0% に設定した $C0_2$ インキュベーター内で培養した。

3) 短時間処理法の代謝活性化によらない場合

細胞播種後 3 日目に、プレートの培養液を除去し、培養液 2.7 mL に対して試験液を 300 μ L の割合で試験チューブ内で混合し、その混合液 3 mL をプレートに添加し 6 時間培養した。6 時間経過後に、プレート内の液を除去して Ca^{2+} および Mg^{2+} フリーの Dulbecco のリン酸緩衝液で細胞を洗い、新鮮な培地 5 mL を加えて更に 18 時間培養した。

4) 短時間処理法の代謝活性化による場合

細胞播種後 3 日目に、プレートの培養液を除去し、S9 mix 0.5 mL および培養液 2.2 mL の混和液に対し試験液を 300 μ L の割合で試験チューブ内で混合し(S9 の最終濃度 約 5 vol%)、その混合液 3 mL をプレートに添加し 6 時間培養した。6 時間経過後に、プレート内の液を除去して Ca^{2+} および Mg^{2+} フリーの Dulbecco のリン酸緩衝液で細胞を洗い、新鮮な培地 5 mL を加えて更に 18 時間培養した。

5) 連続処理法の 24-0 h処理による場合

細胞播種後 3 日日に、プレートの培養液を除去し、培養液 4.5 mL に対して試験液を $500 \mu\text{L}$ の割合で試験チューブ内で混合し、その混合液 5 mL をプレートに添加した。 更に、24 時間培養した。

6) 被験物質の析出の有無の確認

試験液による処理の開始時と終了時に、被験物質の析出の有無を目視確認した。

7) 被験物質による培養液pHへの影響の有無の確認

試験液による処理の開始時と終了時に、培養液色の変化の有無を目視確認した。培養液色に変化が認められない場合には、被験物質による培養液 pH への影響は無いものと判断した。培養液色の変化が認められた場合には、pH 試験紙(東洋濾紙株式会社)で培養液の pH を確認した。

8) 細胞増殖率の測定および 50%細胞増殖抑制濃度 (IC50)の算出

a 当初試験

培養終了後、プレート内の液を除去して Ca^{21} および Mg^{21} フリーの Dulbecco のリン酸緩衝液で細胞を洗い、10%ホルマリンで約 $10\sim15$ 分間固定した後、0.1 w/v% クリスタルバイオレットで約 $10\sim15$ 分間の染色を行った。染色後、水道水を入れた水槽内でプレートを洗浄して風乾させた。対照群のプレートを 100%として、各プレートの細胞増殖率を単層培養細胞密度測定装置 (MONOCELLATER II 、東洋測器株式会社)で測定した。細胞増殖率が 50%以下まで低下した場合には、用量を対数化した回帰計算により 50%細胞増殖抑制濃度 (IC_{50})を算出した。

b 再試験

培養終了後、プレート内の液を除去して Ca^{2+} および Mg^{2+} フリーの Dulbecco のリン酸緩衝液で細胞を洗い、0.02%EDTA-0.25%トリプシン(0.5M EDTA: ロット番号 1390894、GIBCO、2.5%トリプシン: ロット番号 366711、GIBCO)で処理して細胞を回収し、約 1000 rpm($150\times g$)で 5 分間遠心した。上清を除去し、1 mL の新鮮培地に細胞を再浮遊させ、更に 0.5 w/v%トリパンブルーで細胞浮遊液を 2 倍に希釈した後、血球計算盤を用いて生細胞数を計数した。各プレート毎にプレート当たりの生細胞数を求め、対照群の値を 100%としたときの各プレートの生細胞数の百分率(細胞増殖率)を算出し、更に試験群毎にその平均値を算出した。細胞増殖率が 50%以下まで低下した場合には、用量を対数化した回帰計算により 50%細胞増殖抑制濃度 $(1C_{50})$ を算出した。

(2) 本試験および確認試験

1) 試験群

a 当初試験

予備試験の結果に基づき、各試験系列とも 5000 μ g/mL 最高用量とし、以下公比 2 で低下させた用量および IC_{50} 値付近の用量間隔を狭めた用量の計 3 あるいは 6 用量を設定した。

b 再試験

予備試験の再試験結果に基づき、各試験系列とも 5000 μ g/mL あるいは IC_{50} 値より高用量を最高用量とし、以下公比 2 で低下させた 6~10 用量を設定した。

b 確認試験

本試験(再試験)の結果、短時間処理法の代謝活性化によらない場合において、19.5 および39.1 の用量において数的異常の誘発率が9.5 および9.0%と軽度の増加が認められたことから、再現性確認のための確認試験を実施した。確認試験の最高用量は156 μg/mLとし、以下公比2で低下させた計7用量を設定した。

本試験および確認試験ともに、陽性対照群を除く各群には被験物質の細胞増殖への 影響を確認するためのサテライト群 2 枚を加えた 4 枚のプレートを使用し、陽性対照 群では 2 枚のプレートを使用した。各プレートには識別番号を明記した。

2) 細胞の播種

- 8. 試験方法、(1) 予備試験、2) 細胞の播種と同様の方法で実施した。
- 3) 短時間処理法の代謝活性化によらない場合
 - 8. 試験方法、(1)予備試験、3)短時間処理法の代謝活性化によらない場合と同様の 方法で実施した。
- 4) 短時間処理法の代謝活性化による場合
 - 8. 試験方法、(1)予備試験、4)短時間処理法の代謝活性化による場合と同様の方法で実施した。
- 5) 連続処理法の 24-0 h処理による場合
 - 8. 試験方法、(1)予備試験、5)連続処理法の 24-0 h 処理による場合と同様の方法で実施した。
- 6) 被験物質の析出の有無の確認
 - 8. 試験方法、(1)予備試験、6)被験物質の析出の有無の確認と同様の方法で実施した。
- 7) 被験物質による培養液pHへの影響の有無の確認
 - 8. 試験方法、(1) 予備試験、7) 被験物質による培養液 pH への影響の有無の確認と 同様の方法で実施した。
- 8) 細胞増殖率の測定
 - 8. 試験方法、(1)予備試験、8)細胞増殖率の測定および 50%細胞増殖抑制濃度 (IC50)の算出と同様の方法で実施した。当初試験は、単層培養細胞密度測定装置を用いて計測し、再試験および確認試験では生細胞数計数により計測した。IC50 は算出しなかった。
- 9) 染色体標本の作製

培養終了の 2 時間前に、各プレートに最終濃度 $0.2~\mu g/mL$ のコルセミド(ロット番号 1391345 および 414710、GIBCO) を加えた。

当初試験では、培養終了時間に、プレート内の液をそれぞれ遠沈管に回収し、各プレートを 0.02% EDTA-0.25%トリプシン(0.5M EDTA:ロット番号 1390894、G1BCO、2.5%トリプシン:ロット番号 366711、GIBCO)で処理して細胞を剥離させ、得られた細胞浮遊液を同上の遠沈管に回収して 1000 rpm で 5 分間遠心分離した。再試験および確認試験では、培養終了時間にプレート内の液は廃棄し、新鮮培地 5 mL をそれぞれの遠沈管に入れておいた。各プレートを 0.02% EDTA-0.25%トリプシン(0.5M EDTA:ロット番号 1390894、GIBCO、2.5%トリプシン:ロット番号 366711、GIBCO)で処理して細胞を剥離させ、得られた細胞浮遊液を同上の遠沈管に回収して 1000 rpm で 5 分間遠心分離した。

遠心後の上清を除去し、0.075 mol/L 塩化カリウム(ロット番号 810X1990、関東化学株式会社)を加え、穏やかにピペッティングを繰り返しながら常温で30分間放置し細胞を膨満化させた。氷冷したカルノア固定液(メタノール: 酢酸=3:1、メタノール:ロット番号 801W1028 および 906W1125、関東化学株式会社、酢酸:ロット番号 TSN6991、和光純薬工業株式会社)を加えて細胞を固定した後、1000 rpm で5分間遠心分離して上清を除去し、新しいカルノア固定液を加えた。細胞の固定操作を3回繰り返した後、細胞浮遊液をスライドグラス上に滴下し、一夜以上自然乾燥させた。当初試験では、この滴下操作で試験操作を中止とした。

再試験および確認試験では、各プレートより 2 枚(細胞毒性により、得られた細胞が少ない用量については1枚)の染色体標本(スライド)を作製した。各スライドは、2%ギムザ液(ギムザ液:ロット番号 LE158、和光純薬工業株式会社、インスタント燐酸緩衝液(pH7.2):ロット番号 E639、株式会社 三菱化学ヤトロン)で 20 分間染色し、水洗および風乾の後、封入剤(マリノール、ロット番号 0700901、武藤化学薬品株式会社)で封入した。

10) 染色体標本の観察

標本観察の前に各用量の各プレートにつき 1 枚の標本を選択してブラインド化した。

観察用量として、本試験において、短時間処理法の代謝活性化によらない場合および連続処理法の 24-0 h 処理による場合では細胞増殖率が 50%未満で標本の観察が可能な最高用量を高用量とする 8 あるいは 4 用量を選択し、短時間処理法の代謝活性化による場合では観察可能な最高用量を高用量とする 6 用量を選択した。すなわち、短時間処理法の代謝活性化によらない場合では 19.5、39.1、78.1、156、313、625、1250および 2500 μ g/mL の 8 用量を、短時間処理法の代謝活性化による場合では 156、313、625、1250、1250、12500 1250

合では 9.77、19.5、39.1 および 78.1 $\mu g/mL$ の 4 用量を選択した。また、確認試験では、全用量を選択した。

総合倍率 600 倍の顕微鏡 (BX51TF、オリンパス株式会社)で、1 枚あたり 100 個の分裂中期像を選択して観察し、以下の分類に従って染色体異常の判定を行った。構造異常については 25±2 本の染色体をもつものを観察対象とした。

- ①構造異常(structural aberration)
 - ·染色分体切断(ctb: chromatid break)

染色分体のはっきりした不連続部分(切断部分)で、不連続部分が染色 分体の幅以上である場合、あるいは切断片が染色分体の長軸線上から外れ ている場合に染色分体切断として判定した。

·染色分体交換(cte: chromatid exchange)

染色分体の 2 ヵ所以上の切断部位が相互に交換(結合反応)しているものを染色分体交換として判定した。

·染色体切断(csb: chromosome break)

両方の染色分体の同じ位置に切断が生じている場合に、染色体切断と して判定した。切断の判定基準は、染色分体切断に準じた。

·染色体交換(cse: chromosome exchange)

両方の染色分体の同じ位置で同じ方向に交換が生じている場合に、染 色体交換として判定した。

・その他(others)

その他の構造異常として、断片化(fragmentation)がある。一つの分裂 中期像のほとんど全ての染色体に切断やギャップが現れ、交換型の異常が 含まれていない場合に断片化として判定した。

②ギャップ (gap)

染色分体あるいは染色体上に生じた非染色部分(染色性が全くみられない部分)で、非染色部分の幅が染色分体の幅より狭い場合にギャップとして判定した。

- ③数的異常(numerical aberration)
 - ・倍数体(poly: polyploid)

染色体数(25±2)が倍加し、三倍体、四倍体等になったものを倍数体として判定した。

・その他(others)

その他の数的異常として核内倍加がある。倍加した染色体が分離せずに平行に並んでいる場合に核内倍加(end: endoreduplication)と判定し、倍数体とは区別し計数した。

11) 観察結果の集計方法

プレート毎に以下の細胞出現数を求め、試験群毎にその合計値を算出した。更に、構造異常(1個の細胞に複数の構造異常がある場合にも、構造異常を有する細胞数は1として計数)および数的異常を有する細胞の total について、それぞれ出現率(%)を求めた。出現率(%)は、観察した細胞数(分裂中期像の数)に対する出現数の百分率で算出した。

①構造異常について

・ctb: 染色分体切断をもつ細胞数

・cte: 染色分体交換をもつ細胞数

・csb: 染色体切断をもつ細胞数

・cse: 染色体交換をもつ細胞数

・others: その他の構造異常をもつ細胞数

・total:何らかの構造異常をもつ細胞数

②ギャップについて

・gap: ギャップをもつ細胞数

③数的異常について

・poly: 倍数体の細胞数

・others: その他の数的異常をもつ細胞数

・total: 何らかの数的異常をもつ細胞数

9. 試験結果の評価

構造異常または数的異常の total の出現率(%)が 10%以上増加し、その出現様式に用量依存性がみられる場合、あるいは 5%以上増加する結果について確認試験により再現性がみられる場合を陽性、それ以外を陰性とし、統計学的手法は用いなかった。

D₂₀ 値(細胞の 20%に異常が認められる濃度)を、各短時間処理法の代謝活性化によらない場合の確認試験について算出した。

成績

1. 予備試験

(1) 当初試験

細胞増殖率の結果を Table 1 および Figure 1 に、被験物質の析出および培養液 pH への影響の結果を Table 1 に示す。

短時間処理法の代謝活性化によらない場合および連続処理法の 24-0 h 処理による場合では 50%を超える細胞増殖抑制が認められ、短時間処理法の代謝活性化による場合では細胞増殖への影響はみられなかった。 IC_{50} 値は、短時間処理法の代謝活性化によらない場合が 3316 μ g/mL および連続処理法の 24-0 h 処理による場合が 2800 μ g/mL であった。

被験物質の析出が、試験液処理開始時および処理終了時ともに各試験系列の 1250 μg/mL 以上の用量で観察された。

被験物質による培養液 pHへの影響が、試験液処理開始時において各試験系列の 5000 μg/mL の用量で観察された。

(2) 再試験

細胞増殖率の結果を Table 3 および Figure 2 に、被験物質の析出および培養液 pII への影響の結果を Table 3 に示す。

短時間処理法の代謝活性化によらない場合および連続処理法の 24-0 h 処理による場合では 50%を超える細胞増殖抑制が認められ、短時間処理法の代謝活性化による場合では細胞増殖への影響はみられなかった。 IC_{50} 値は、短時間処理法の代謝活性化によらない場合が 3948 μ g/mL および連続処理法の 24-0 h 処理による場合が 131 μ g/mL であった。

被験物質の析出が、試験液処理開始時および処理終了時ともに各試験系列の 1250 μg/mL 以上の用量で観察された。

被験物質による培養液 pHへの影響が、試験液処理開始時において各試験系列の 5000 μg/mL の用量で観察された。

2. 本試験

(1) 当初試験

細胞増殖率、被験物質の析出および培養液 pH への影響の結果を Table 2 に示す。

サテライト群における細胞増殖への影響の検討では、50%を超える細胞増殖抑制が、 短時間処理法の代謝活性化によらない場合および連続処理法の 24-0 h 処理による場 合ともに 2500 μg/mL 以上の用量で認められた。

被験物質の析出が、試験液処理開始時および処理終了時ともに各試験系列の 1250 μg/mL 以上の用量で観察された。

被験物質による培養液 pHへの影響が、試験液処理開始時において各試験系列の 5000 μg/mL の用量で観察された。

(2) 再試験

細胞増殖率、被験物質の析出および培養液 pH への影響の結果を Table 4 に、染色体異常誘発性の評価結果を Table 5-1~5-3 に示す。

染色体異常誘発性と同時に評価したサテライト群における細胞増殖への影響の検討では、50%を超える細胞増殖抑制が、短時間処理法の代謝活性化によらない場合の2500 μg/mL以上の用量および連続処理法の24-0 h 処理による場合の78.1 μg/mL以上の用量で認められた。

被験物質の析出が、試験液処理開始時および処理終了時ともに各試験系列の 1250 µg/mL 以上の用量で観察された。

被験物質による培養液 pH への影響が、試験液処理開始時において短時間処理法の代謝活性化によらない場合および代謝活性化による場合の 5000 μg/mL の用量で観察された。

染色体の構造異常の出現率は、短時間処理法の代謝活性化によらない場合(評価用量: $19.5\sim2500~\mu g/mL$)、短時間処理法の代謝活性化による場合(評価用量: $156\sim5000~\mu g/mL$) および連続処理法の 24-0~h~ 処理による場合(評価用量: $9.77\sim78.1~\mu g/mL$) のいずれの用量においても5%未満であった。

染色体の数的異常の出現率は、短時間処理法の代謝活性化によらない場合の 19.5 および 39.1 μ g/mL の用量でそれぞれ 9.5 および 9.0%であった。評価最低用量において出現率が最大となったことから、 D_{20} 値は算出できなかった。短時間処理法の代謝

活性化による場合および連続処理法の 24-0 h 処理による場合ではいずれの用量においても 5%未満であった。

陽性対照群の染色体の構造異常の出現率は、短時間処理法の代謝活性化によらない場合が 35.5%、短時間処理法の代謝活性化による場合が 47.5%および連続処理法の 24-0 h 処理による場合が 45.0%であった。

3. 確認試験

細胞増殖率、被験物質の析出および培養液 pH への影響の結果を Table 6 に、染色体 異常誘発性の評価結果を Table 7 に示す。

染色体異常誘発性と同時に評価したサテライト群における細胞増殖への影響の検討では、39.1 μg/mL以上の用量で軽度の細胞増殖抑制が認められた。

被験物質の析出および被験物質による培養液pHへの影響は観察されなかった。

染色体の構造異常の出現率は、いずれの用量(評価用量: 2.44 \sim 156 μg/mL)においても5%未満であった。

染色体の数的異常の出現率は、39.1 および 78.1 μ g/mL の用量でそれぞれ 6.5 および 5.0% (D₂₀値: 0.098 mg/mL)であった。

陽性対照群の染色体の構造異常の出現率は48.0%であった。

考察

ペルフルオロオクタデカン酸の *in vitro* における染色体異常誘発性の有無を、チャイニーズハムスター肺山来細胞(CHL/IU)を用いて検討した。

予備試験 (再試験、細胞増殖抑制試験) の結果に基づき、本試験 (再試験、染色体異常試験) 用量として、各試験系列とも 5000 μ g/mL あるいは IC_{50} より高用量を最高用量とした計 6~10 用量を設定した。また、短時間処理法の代謝活性化によらない場合については、数 的異常誘発性について確認試験を実施した。

本試験および確認試験の結果、染色体の構造異常の出現率は、いずれの試験系列も 5%未満で、結果は陰性であった。一方、数的異常の出現頻度は、短時間処理法の代謝活性化によらない場合において、本試験の 19.5 および 39.1 $\mu g/mL$ の用量ならびに確認試験の 39.1 および 78.1 $\mu g/mL$ の用量で 5%以上となり、出現頻度の増加について再現性が確認された。このことから、当該被験物質は軽度ながらも染色体の数的異常を誘発させるものと考えられた。

陽性対照群における染色体の構造異常の出現率は各試験系列において明確な陽性値を示し、本試験系が適切な感受性を有していたことが確認された。

以上のことから、ペルフルオロオクタデカン酸は、本試験条件において、ほ乳類の培養 細胞に対し軽度ながらも代謝活性化系なしの条件で染色体の数的異常誘発性を有すると判 断した。

当試験施設では当該試験の被験物質を含め 5 種類のペルフルオロカルボン酸 (PFA) の染色体異常試験を実施しており、各被験物質の染色体異常誘発性と細胞毒性作用についての比較が可能である。試験対象とした PFA の炭素鎖は 10、11、13、15 および 17 で、それぞれペルフルオロウンデカン酸 $[CF_3(CF_2)_8CF_2COOH$ 、試験番号: SR06173]、ペルフルオロドデカン酸 $[CF_3(CF_2)_9CF_2COOH$ 、試験番号: SR06199]、ペルフルオロテトラデカン酸 $[CF_3(CF_2)_{11}CF_2COOH$ 、試験番号: SR06201]、ペルフルオロヘキサデカン酸 $[CF_3(CF_2)_{12}CF_2COOH$ 、試験番号: SR06203] およびペルフルオロオクタデカン酸 $[CF_3(CF_2)_{15}CF_2COOH$ 、試験番号: SR06175] である。

各被験物質の細胞増殖抑制作用の IC₅₀値(予備試験結果)と染色体異常誘発性の結果を下表に示す。

被験物質名	分子量	IC ₅₀ (μg/mL)[染色体異常試験結果]							
(文)映刊9 頁 和	77丁里	短時間処理(-)	短時間処理(+)	連続処理(24h)					
ペルフルオロウンデカン酸	564. 09	206 [構造+、数的+]	235 [構造+、数的+]	124 [-]					
ペルフルオロドデカン酸	614. 10	242 [-]	277 [構造+、数的+]	87. 1 [-]					
ペルフルオロテトラデカン酸	714. 11	175 [-]	592 [-]	69. 7 [-]					
ペルフルオロヘキサデカン酸	814. 13	454 [-]	1013 [-]	377 [-]					
ペルフルオロオクタデカン酸*	914. 15	3316 [-]	5000 < [数的土]	2800 [-]					

^{*:}生細胞数に基づく値ではなく他試験と同様に比色法による値を採用した。

細胞増殖抑制作用は、代謝活性化系の非存在下において、被験物質の炭素鎖と細胞増殖抑制作用の強さに一定の傾向が認められた。炭素鎖 13 のペルフルオロテトラデカン酸の細胞増殖抑制作用が最も強く、炭素鎖 13 未満では炭素鎖の延長に伴い細胞増殖抑制作用が強くなる傾向が、逆に炭素鎖が 13 を超える場合には炭素鎖の延長により細胞増殖抑制作用は弱くなる傾向が認められた。同様の結果が、ヒト結腸癌細胞(HCT116)を用いた炭素鎖 6~18 の PFA の細胞毒性の構造活性相関の検討において報告 1) されており、ペルフルオロテトラデカン酸で最も強い細胞増殖抑制作用が認められている。 PFA の細胞毒性のメカニズムは明確にされていないが、炭素鎖 7~10 の PFA が Gap-junction 依存性細胞間情報伝達を阻害し、その作用が炭素鎖に依存すること 2)、ペルフルオロテトラデカン酸の細胞毒性作用には直接的および物理的な膜変異メカニズムが推察されるとともに 3)、ペルフルオロテトラデカン酸は内因性の細胞死(アポトーシス)を誘発させることが報告 1)、3) されている。

当試験施設における染色体異常誘発性の検討において、陽性結果が炭素鎖 10 および 11 のペルフルオロウンデカン酸およびペルフルオロドデカン酸で認められた。いずれも細胞毒性が明確にみられた用量での結果であり、また、当試験施設で実施した復帰突然変異試験では陰性結果が得られており、これらの被験物質は特別注意すべき変異原性を有するものではないと考えられる。PFA の遺伝毒性に関する報告は、ほとんどが炭素鎖 8 のペルフルオクタン酸についてのものである。ヒト肝癌細胞(HepG2)を用いて活性酸素(ROS)の産生確認とコメットアッセイを行った報告 4) では、ペルフルオクタン酸の処理により ROS の増

加はみられるものの DNA 損傷性は認められず遺伝毒性は確認されていない。また、ペルフルオクタン酸については遺伝毒性陰性結果が多いとの解説がなされている。

参考文献

- Konrad Kleszczyński, Pawel Gardzielewski, Ewa Mulkiewicz, Piotr Stepnowski and Andrzej
 C. Składanowski: Analysis of structure-cytotoxicity in vitro relationship (SAR) for perfluorinated carboxylic acids. Toxicology in Vitro 21, 1206-1211 (2007)
- Wenyue Hu, Paul D. Jones, Brad L. Upham, James E Trosko, Christopher Lau and John P. Giesy: Inhibition of Gap Junctional Intercellular Communication by Perfluorinated Compounds in Rat Liver and Dolphin Kidney Epithelial Cell Lines in vitro and Sprague-Dawley Rats in Vivo. TOXICOLOGICAL SCIENCE 68, 429-436 (2002)
- Konrad Kleszczyński, Piotr Stepnowski and Andrzej C. Składanowski: Mechanism of cytotoxic action of perfluorinated acids II. Disruption of mitochondrial bioenergetics. Toxicology and Applied Pharmacology 235, 182-190 (2009)
- 4) Kirsten Thorup Eriksen, Ole Raaschou-Nielsen, Mette Sorensen, Martin Roursgaard, Steffen Loft and Peter Moller: Genotoxic potential of the perfluorinated chemicals PFOA, PFOS, PFBS, PFNA, and PFHxA in human HepG2 cells. Mutation Research 700, 39-43 (2010)

Table 1 Effects of perfluorooctadecanoic acid on growth rate of CHL/IU with or without metabolic activation (preliminary test) (SR06175)

Growth rate (% to the control)

		S9-	S9+	S9-
Group	Concentration	6-18 h	6-18 h	24-0 h
	$(\mu g/mL)$	(Mean)	(Mean)	(Mean)
Control ^a	-	100 , 100 (100.0)	100 , 100 (100.0)	100 , 100 (100.0)
Perfluorooctadecanoic acid	19.5	90 , 93 (91.5)	95 , 94 (94.5)	75 , 81 (78.0)
	39.1	87 , 84 (85.5)	96 , 88 (92.0)	89 , 90 (89.5)
	78.1	82 , 79 (80.5)	90 , 85 (87.5)	103 , 100 (101.5)
	156	78 , 80 (79.0)	95 , 89 (92.0)	105 , 105 (105.0)
	313	80 , 79 (79.5)	86 , 88 (87.0)	109 , 113 (111.0)
	625	85 , 84 (84.5)	86 , 83 (84.5)	85 , 84 (84.5)
	1250	80 [#] , 82 [#] (81.0)	84 [#] , 78 [#] (81.0)	72 [#] , 74 [#] (73.0)
	2500	58 [#] , 63 [#] (60.5)	84 [#] , 80 [#] (82.0)	49 [#] , 45 [#] (47.0)
	5000	36 **, 36 ** (36.0)	83 **, 77 ** (80.0)	40 **, 39 ** (39.5)
IC ₅₀ (μg/mL)		3316	-	2800

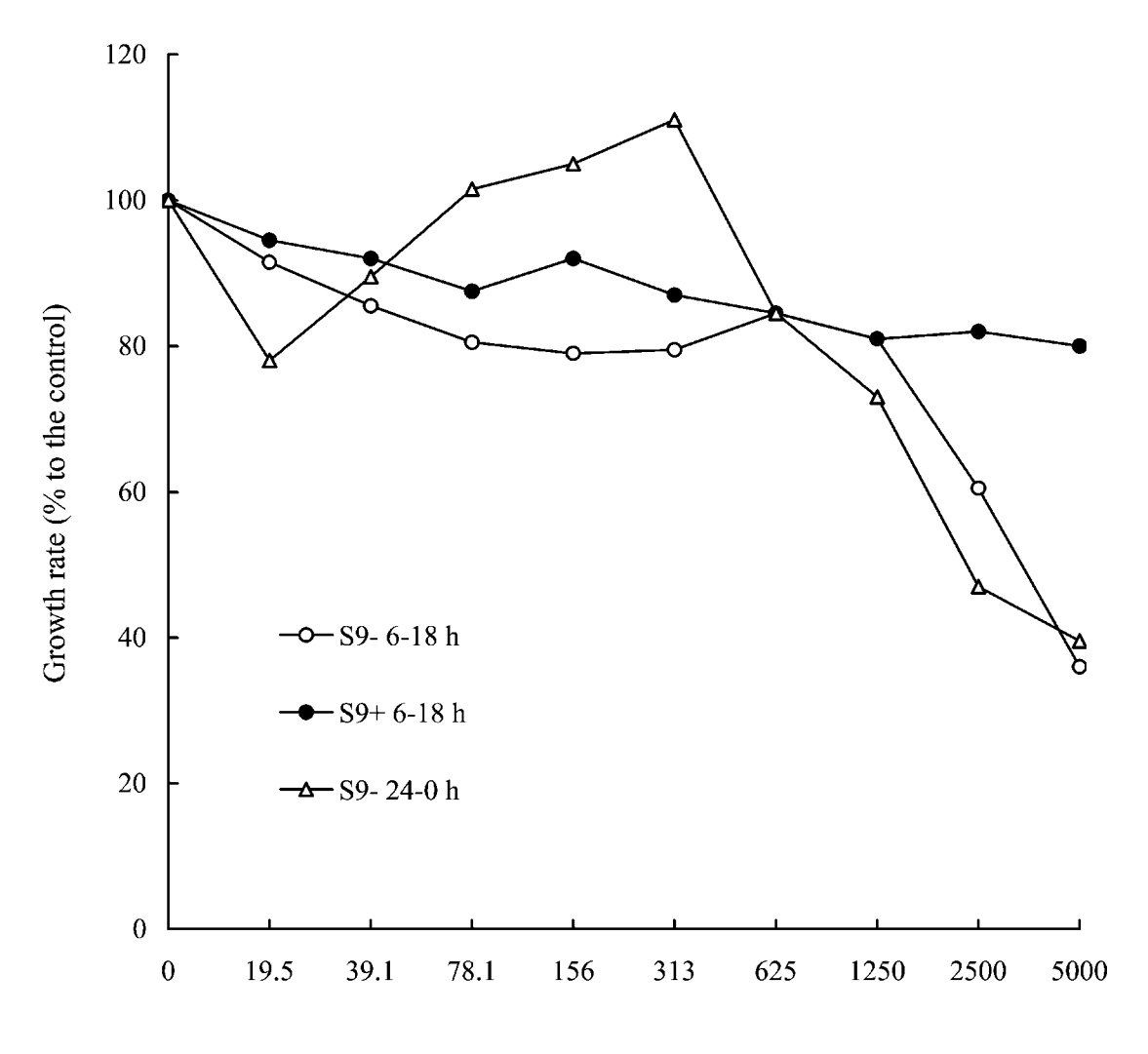
a: Water for injection (Japanese pharmacopoeia)

^{#:} Precipitation at the beginning and end of treatment

^{*:} Decrease of pH in culture medium at the beginning of treatment

The figure in parentheses represents mean value of two plates.

^{-:} Blank



Concentration of perfluorooctadecanoic acid (µg/mL)

Figure 1 Effects of perfluorooctadecanoic acid on growth rate of CHL/IU with or without metabolic activation (preliminary test) (SR06175)

Each point represents mean value (n=2).

Table 2 Effects of perfluorooctadecanoic acid on growth rate of CHL/IU with or without metabolic activation (chromosomal aberration test) (SR06175)

Growth rate (% to the control)

		S9-	S9+	S9-
Group	Concentration	6-18 h	6-18 h	24-0 h
	(µg/mL)	(Mean)	(Mean)	(Mean)
Control ^a	-	100 , 100 (100.0)	100 , 100 (100.0)	100 , 100 (100.0)
Perfluorooctadecanoic acid	313	78 , 72 (75.0)	-	113 , 125 (119.0)
	625	81 , 82 (81.5)	-	110 , 106 (108.0)
	1250	80 [#] , 78 [#] (79.0)	68 [#] , 69 [#] (68.5)	72 [#] , 72 [#] (72.0)
	1875	-	-	64 [#] , 69 [#] (66.5)
	2500	58 [#] , 53 [#] (55.5)	74 [#] , 78 [#] (76.0)	49 [#] , 47 [#] (48.0)
	3750	42 [#] , 33 [#] (37.5)	-	-
	5000	29 **, 27 ** (28.0)	73 **, 71 ** (72.0)	31 **, 30 ** (30.5)

a: Water for injection (Japanese pharmacopoeia)

^{*:} Precipitation at the beginning and end of treatment

 $[\]mbox{\ensuremath{\mbox{*}}}\colon \mbox{Decrease of pH in culture medium at the beginning of treatment}$

The figure in parentheses represents mean value of two plates.

^{- :} Blank

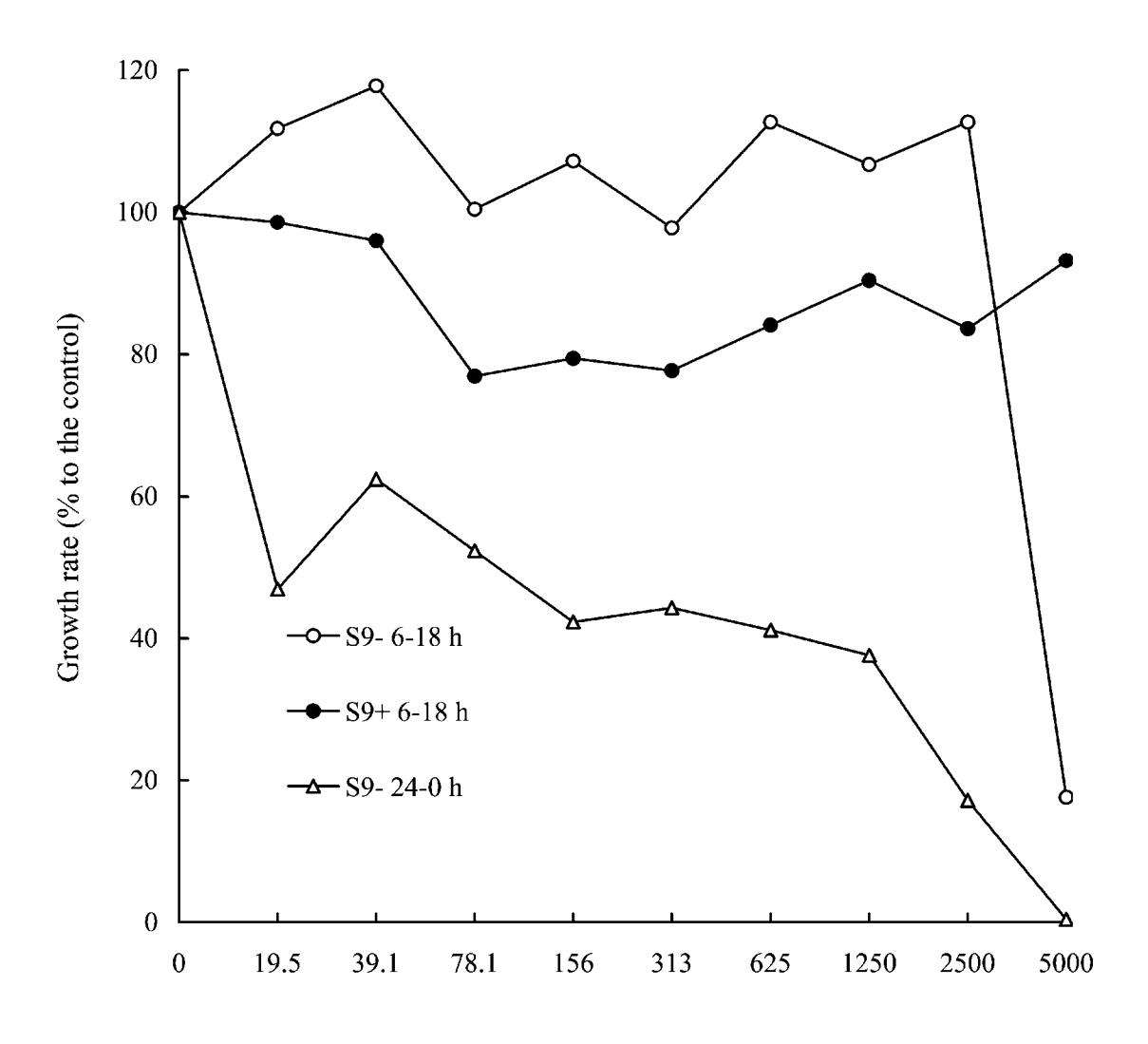
Table 3 Effects of perfluorooctadecanoic acid on growth rate of CHL/IU with or without metabolic activation (preliminary test, retest) (SR06175)

Compound	Concentration	S9- 6-18 1	า	S9- 6-18		S9- 24-0	
Compound		Cell number b	Growth rate ^c (%)	Cell number	Growth rate	Cell number	Growth rate
	(μg/mL)	(×10 ⁴ cells/plate)	(%)	(×10 ⁴ cells/plate)	(%)	(×10 ⁴ cells/plate)	(%)
Control ^a	_	41.6 , 75.6 (58.6)	(100.0)	148.0 , 138.6 (143.3)	(100.0)	82.0 , 73.0 (77.5)	(100.0)
Perfluorooctadecanoic acid	19.5	70.0 , 61.0 (65.5)	119.5 , 104.1 (111.8)	148.0 , 134.6 (141.3)	103.3 , 93.9 (98.6)	32.6 , 40.0 (36.3)	42.1 , 51.6 (46.9)
	39.1	70.0 , 68.0 (69.0)	119.5 , 116.0 (117.8)	133.6 , 141.6 (137.6)	93.2 , 98.8 (96.0)	51.6 , 45.0 (48.3)	66.6 , 58.1 (62.4)
	78.1	61.0 , 56.6 (58.8)	104.1 , 96.6 (100.4)	106.6 , 113.6 (110.1)	74.4 , 79.3 (76.9)	50.0 , 31.0 (40.5)	64.5 , 40.0 (52.3)
	156	63.6 , 62.0 (62.8)	108.5 , 105.8 (107.2)	93.6 , 134.0 (113.8)	65.3 , 93.5 (79.4)	29.0 , 36.6 (32.8)	37.4 , 47.2 (42.3)
	313	52.6 , 62.0 (57.3)	89.8 , 105.8 (97.8)	109.0 , 113.6 (111.3)	76.1 , 79.3 (77.7)	35.6 , 33.0 (34.3)	45.9 , 42.6 (44.3)
	625	62.0 , 70.0 (66.0)	105.8 , 119.5 (112.7)	99.0 , 142.0 (120.5)	69.1 , 99.1 (84.1)	25.0 , 38.6 (31.8)	32.3 , 49.8 (41.1)
	1250	56.0 [#] , 69.0 [#] (62.5)	95.6 , 117.7 (106.7)	118.0 [#] , 141.0 [#] (129.5)	82.3 , 98.4 (90.4)	27.6 [#] , 30.6 [#] (29.1)	35.6 , 39.5 (37.6)
	2500	62.0 [#] , 70.0 [#] (66.0)	105.8 , 119.5 (112.7)	127.0 [#] , 112.6 [#] (119.8)	88.6 , 78.6 (83.6)	11.0 [#] , 15.6 [#] (13.3)	14.2 , 20.1 (17.2)
	5000	11.0 **, 9.6 ** (10.3)	18.8 , 16.4 (17.6)	143.0 ** , 124.0 ** (133.5)	99.8 , 86.5 (93.2)	0.6 **, 0.0 ** (0.3)	0.8, 0.0
IC ₅₀		394	48	-		131	

a: Water for injection (Japanese pharmacopoeia)
b: Viable cell number per plate measured by trypan blue dye exclusion method
c: Percentage to the control mean value
*: Precipitation at the beginning and end of treatment
*: Decrease of pH in culture medium at the beginning of treatment

The figure in parentheses represents mean value of two plates.

^{- :} Blank



Concentration of perfluorooctadecanoic acid (µg/mL)

Figure 2 Effects of perfluorooctadecanoic acid on growth rate of CHL/IU with or without metabolic activation (preliminary test, retest) (SR06175)

Each point represents mean value (n=2).

Table 4 Effects of perfluorooctadecanoic acid on growth rate of CHL/IU with or without metabolic activation (chromosomal aberration test, retest) (SR06175)

Compound	Concentration	S9- 6-18 h	ı	S9+ 6-18		S9 24-	
	(μg/mL)	Cell number ^b (×10 ⁴ cells/plate)	Growth rate ° (%)	Cell number (×10 ⁴ cells/plate)	Growth rate (%)	Cell number (×10 ⁴ cells/plate)	Growth rate (%)
Control ^a	(#g/III2)	206.0 , 234.6 (220.3)	(100.0)	285.6 , 310.0 (297.8)	(100.0)	220.6 , 231.6 (226.1)	(100.0)
Perfluorooctadecanoic acid	9.77	-	-	-	-	166.6 , 172.0 (169.3)	73.7 , 76.1 (74.9)
	19.5	160.0 , 168.0 (164.0)	72.6 , 76.3 (74.5)	-	-	115.6 , 127.0 (121.3)	51.1 , 56.2 (53.7)
	39.1	151.6 , 181.0 (166.3)	68.8 , 82.2 (75.5)	-	-	129.6 , 120.0 (124.8)	57.3 , 53.1 (55.2)
	78.1	166.0 , 169.6 (167.8)	75.4 , 77.0 (76.2)	-	-	109.0 , 107.0 (108.0)	48.2 , 47.3 (47.8)
	156	160.6 , 168.6 (164.6)	72.9 , 76.5 (74.7)	171.6 , 216.6 (194.1)	57.6 , 72.7 (65.2)	93.6 , 100.6 (97.1)	41.4 , 44.5 (43.0)
	313	161.6 , 167.6 (164.6)	73.4 , 76.1 (74.8)	183.0 , 205.0 (194.0)	61.5 , 68.8 (65.2)	88.6 , 97.0 (92.8)	39.2 , 42.9 (41.1)
	625	145.6 , 162.6 (154.1)	66.1 , 73.8 (70.0)	184.6 , 165.0 (174.8)	62.0 , 55.4 (58.7)	81.0 , 81.6 (81.3)	35.8 , 36.1 (36.0)
	1250	138.0 [#] , 146.0 [#] (142.0)	62.6 , 66.3 (64.5)	171.6 [#] , 160.6 [#] (166.1)	57.6 , 53.9 (55.8)	91.0 [#] , 101.0 [#] (96.0)	40.2 , 44.7 (42.5)
	2500	100.0 [#] , 102.6 [#] (101.3)	45.4 , 46.6 (46.0)	164.0 [#] , 176.0 [#] (170.0)	55.1 , 59.1 (57.1)	-	-
	3750	51.0 [#] , 54.6 [#] (52.8)	23.2 , 24.8 (24.0)	-	-	-	-
	5000	12.0 **, 19.6 ** (15.8)	5.4 , 8.9 (7.2)	188.6 ** , 180.0 ** (184.3)	63.3 , 60.4 (61.9)	-	-

a: Water for injection (Japanese pharmacopocia)

b: Viable cell number per plate measured by trypan blue dye exclusion method
c: Percentage to the control mean value

Frecipitation at the beginning and end of treatment

Cercase of pH in culture medium at the beginning of treatment

The figure in parentheses represents mean value of two plates.

^{- :} Blank

Table 5-1 Results of the chromosomal aberration test of perfluorooctadecanoic acid (6 hours treatment without metabolic activation, retest) (SR06175)

Time schedule ^a			Concentration	Growth	Number of			Structura	al aberra	ntions				nerical al	perrations	
(hours)	S9 Group (μg/mL)		rate (%)	metaphase observed	ctb	cte	csb	cse	others	total (%)	Gap	poly	others	total (%)	Judgment ^c	
					100	2	0	0	0	0	2	0	0	0	0	
		Control ^b —	_	100.0	100	1	0	0	0	0	1	0	0	0	0	_
					200	3	0	0	0	0	3 (1.5)	0	0	0	0 (0.0)	
					100	4	1	0	0	0	4	0	5	0	5	
			19.5	74.5	100	0	0	0	0	0	0	0	13	1	14	
					200	4	1	0	0	0	4 (2.0)	0	18	1	19 (9.5)	
					100	0	0	0	0	1	1	0	6	0	6	
			39.1	75.5	100	3	1	1	0	0	3	0	12	0	12	
					200	3	1	1	0	1	4 (2.0)	0	18	0	18 (9.0)	
					100	0	0	0	0	0	0	0	4	0	4	
			78.1	76.2	100	2	0	0	0	0	2	0	2	0	2	
					200	2	0	0	0	0	2 (1.0)	0	6	0	6 (3.0)	
					100	1	0	0	0	0	1	0	3	0	3	
			156	74.7	100	1	0	0	0	0	1	0	3	0	3	
					200	2	0	0	0	0	2 (1.0)	0	6	0	6 (3.0)	
6-18		Perfluoroocta-			100	3	0	0	0	0	3	0	2	0	2] .
0-16	-	decanoic acid	313	74.8	100	1	1	0	0	0	2	0	3	0	3	+
					200	4	1	0	0	0	5 (2.5)	0	5	0	5 (2.5)	
					100	1	0	0	0	0	1	0	1	0	1	
			625	70.0	100	1	0	0	0	0	1	0	0	0	0	
					200	2	0	0	0	0	2 (1.0)	0	1	0	1 (0.5)	
					100	1	1	0	0	0	2	0	1	0	1	
			1250	64.5	100	2	0	0	0	0	2	0	2	0	2	
					200	3	1	0	0	0	4 (2.0)	0	3	0	3 (1.5)	
					100	1	0	0	0	0	1	0	0	0	0	
			2500	46.0	100	0	0	0	0	0	0	0	1	0	1	
					200	1	0	0	0	0	1 (0.5)	0	1	0	1 (0.5)	
			3750	24.0	Toxic	-	-	-	-	-	-	-	-	-	-	
			5000	7.2	Toxic	-	ı	-	1	-	1	-	-	-	-	
	[100	12	26	0	0	0	35	0	1	0	1	
		Mitomycin C	0.1	\	100	6	31	1	11	0	36	0	0	0	0	+
		-			200	18	57	1	1	0	71 (35.5)	0	1	0	1 (0.5)	

ctb, chromatid break cte, chromatid exchange

csb, chromosome break cse, chromosome exchange poly, polyploid

a: Time schedule; treatment time-recovery time

b: Water for injection (Japanese pharmacopoeia)

c: Judgment was made according to the total (%) of structural aberrations and numerical aberrations; -, negative +, positive

^{- :} Blank

Table 5-2 Results of the chromosomal aberration test of perfluorooctadecanoic acid (6 hours treatment with metabolic activation, retest) (SR06175)

Time schedule ^a			Concentration	Growth	Number of			Structur	al aberra	itions			Nun	nerical al	perrations							
(hours)	S9	Group	(μg/mL)	rate (%)	metaphase observed	ctb	cte	csb	cse	others	total (%)	Gap	poly	others	total (%)	Judgment ^c						
					100	1	0	0	0	0	1	0	0	0	0							
		Control b	_	100.0	100	0	0	0	0	0	0	0	1	0	1	_						
					200	1	0	0	0	0	1 (0.5)	0	1	0	1 (0.5)							
					100	2	1	0	0	0	2	0	0	0	0							
			156	65.2	100	0	0	0	0	0	0	0	1	0	1	1						
					200	2	1	0	0	0	2 (1.0)	0	1	0	1 (0.5)	1						
					100	2	0	1	0	0	2	0	2	0	2							
			313	65.2	100	1	1	0	0	0	2	0	2	0	2	4						
					200	3	1	1	0	0	4 (2.0)	0	4	0	4 (2.0)	4						
			(25	50.5	100	l	0	0	0	0		l	4	0	4							
		Perfluoroocta-	625	58.7	100	0	0	0	0	0	0	0	2	0	2	4						
6-18	+				200	0	0	0	0	0	1 (0.5)	0	6	0	6 (3.0)							
		decanoic acid	1250	1250	1250	1250	1250	1250	1250	£	100 100	0	0 0	$\begin{bmatrix} 0 \\ 0 \end{bmatrix}$	$\begin{bmatrix} 0 \\ 0 \end{bmatrix}$	0	0	0	4 4	0 0	4	
			1230	55.8	200	1	0	0	0	0	1 (0.5)	0	8	0	8 (4.0)	1						
					100	0	0	0	0	0	0	0	4	0	8 (4.0) 4	1						
			2500	57.1	100	0	0	0	0	0	0	0	4	0	4							
			2300	37.1	200	0	0	0	0	0	0 (0.0)	0	8	0	8 (4.0)	1						
					100	1	0	0	0	0	1	0	0	0	0	†						
			5000	61.9	100	1	0	Ö		0	1	0	3	0	3							
				01.5	200	2	0	0	0	0	2 (1.0)	0	3	0	3 (1.5)	1						
					100	13	40	0	i	0	47	0	0	0	0							
		Benzo[a]pyrene	10		100	11	42	Ō	0	0	48	1	0	0	0	+						
		£ 31 5			200	24	82	0	1	0	95 (47.5)	1	0	0	0 (0.0)	4						

ctb, chromatid break cte, chromatid exchange

csb, chromosome break cse, chromosome exchange poly, polyploid

a: Time schedule; treatment time-recovery time

b: Water for injection (Japanese pharmacopoeia)

c: Judgment was made according to the total (%) of structural aberrations and numerical aberrations; -, negative +, positive

Table 5-3 Results of the chromosomal aberration test of perfluorooctadecanoic acid (24 hours treatment without metabolic activation, retest) (SR06175)

Time schedule ^a			Concentration	Growth	Number of			Structur	al aberra	tions			Nun	nerical al	perrations	
(hours)	S9	Group	(μg/mL)	rate (%)	metaphase observed	ctb	cte	csb	cse	others	total (%)	Gap	poly	others	total (%)	Judgment ^c
					100	0	0	0	0	0	0	0	0	0	0	
		Control b	_	100.0	100	2	0	0	0	0	2	0	0	0	0	_
					200	2	0	0	0	0	2 (1.0)	0	0	0	0 (0.0)	
					100	0	0	0	0	0	0	0	3	0	3	
			9.77	74.9	100	0	0	0	0	0	0	0	0	0	0	1
					200	0	0	0	0	0	0 (0.0)	0	3	0	3 (1.5)	1
					100	1	0	0	0	0	1	0	2	0	2	
			19.5	53.7	100	0	0	0	0	0	0	0	4	0	4	1
					200	1	0	0	0	0	1 (0.5)	0	6	0	6 (3.0)	
					100	0	0	0	0	0	0	0	4	0	4	
24-0	_	Perfluoroocta-	39.1	55.2	100	2	2	0	0	0	4	0	2	0	2	_
-· ·		decanoic acid			200	2	2	0	0	0	4 (2.0)	0	6	0	6 (3.0)	1
					100	0	1	0	0	0	1	0	2	0	2	
			78.1	47.8	100	0	0	0	0	0	0	0	3	0	3	1
					200	0	1	0	0	0	1 (0.5)	0	5	0	5 (2.5)	
			156	43.0	Toxic	-	-	-	-	-	-	-	-	-	-	1
			313	41.1	Toxic	-	-	-	-	-	-	-	-	-	-	1
			625	36.0	Toxic	-	-	-	-	-	-	-	-	-	-	
			1250	42.5	Toxic	-	-	-	-	-	-	-	-	-		
					100	10	38	0	1	0	48	0	0	0	0	
		Mitomycin C	0.05		100	11	34	0	0	0	42	0	0	0	0	+
					200	21	72	0	1	0	90 (45.0)	0	0	0	0 (0.0)	<u> </u>

ctb, chromatid break cte, chromatid exchange csb, chromosome break cse, chromosome exchange poly, polyploid

 \boldsymbol{a} : Time schedule ; treatment time-recovery time

b: Water for injection (Japanese pharmacopoeia)

c: Judgment was made according to the total (%) of structural aberrations and numerical aberrations; -, negative +, positive

- : Blank

Table 6 Effects of perfluorooctadecanoic acid on growth rate of CHL/IU without metabolic activation (chromosomal aberration test, confirmatory test) (SR06175)

		S9-							
Compound	Concentration	6-181	<u>h</u>						
		Cell number b	Growth rate c						
	(μg/mL)	(×10 ⁴ cells/plate)	(%)						
Control ^a	-	189.0 , 228.0 (208.5)	(100.0)						
Perfluorooctadecanoic acid	2.44	190.6 , 244.6 (217.6)	91.4 , 117.3 (104.4)						
	4.88	179.0 , 175.0 (177.0)	85.9 , 83.9 (84.9)						
	9.77	208.6 , 219.0 (213.8)	100.0 , 105.0 (102.5)						
	19.5	200.6 , 193.6 (197.1)	96.2 , 92.9 (94.6)						
	39.1	172.0 , 160.6 (166.3)	82.5 , 77.0 (79.8)						
	78.1	142.0 , 159.0 (150.5)	68.1 , 76.3 (72.2)						
	156	140.0 , 132.6 (136.3)	67.1 , 63.6 (65.4)						

a: Water for injection (Japanese pharmacopoeia)

b: Viable cell number per plate measured by trypan blue dye exclusion method

c: Percentage to the control mean value

The figure in parentheses represents mean value of two plates.

^{- :} Blank

Table 7 Results of the chromosomal aberration test of perfluorooctadecanoic acid (6 hours treatment without metabolic activation, confirmatory test) (SR06175)

Time schedule ^a (hours)	S9	Group	Concentration (µg/mL)	Growth rate (%)	Number of metaphase observed	Structural aberrations							Numerical aberrations			
						ctb	cte	csb	cse	others	total (%)	Gap	poly	others	total (%)	Judgment ^c
6-18	_	Control ^b	_	100.0	100	0	0	0	0	0	0	0	0	0	0	_
					100	0	0	0	0	0	0	0	0	0	0	
					200	0	0	0	0	0	0 (0.0)	0	0	0	0 (0.0)	
		Perfluoroocta- decanoic acid	2.44	104.4	100	0	0	0	0	0	0	0	1	0	1	+
					100	0	0	0	0	0	0	0	2	0	2	
					200	0	0	0	0	0	0 (0.0)	0	3	0	3 (1.5)	
			4.88	84.9	100	1	0	0	0	0	1	0	0	0	0	
					100	0	0	0	0	0	0	0	0	0	0	
					200	1	0	0	0	0	1 (0.5)	0	0	0	0 (0.0)	
			9.77	102.5	100	0	0	0	0	0	0	0	1	0	1	
					100	0	0	0	0	0	0	0	3	0	3	
					200	0	0	0	0	0	0 (0.0)	0	4	0	4 (2.0)	
			19.5	94.6	100	0	0	0	0	0	0	0	1	0	1	
					100	0	1	0	0	0	1	0	3	0	3	
					200	0	<u>l</u>	0	0	0	1 (0.5)	0	4	0	4 (2.0)	
			39.1	79.8	100	0	0	0	0	0	0	0	9	0	9	
					100	0	1	0	0	0	1	0	4	0	4	
					200	0	1	0	0	0	1 (0.5)	0	13	0	13 (6.5)	
			78.1	72.2	100	0	0	0	0	0	0	0	6	0	6	
	-				100	1	0	0	0	0	1	0	4	0	4	
					200	1	0	0	0	0	1 (0.5)	0	10	0	10 (5.0)	
			156	65.4	100	2	0	0	0	0	2	0	4	0	4	
					100	0	1	0	0	0	1	0	3	0	3	4
					200	2	1	0	0	0	3 (1.5)	0	7	0	7 (3.5)	
		Mitomycin C	0.1		100	9	44	0	l	0	46	0	0	0	0	+
					100	5	48	0	0	0	50	0	0	0	0	
					200	14	92	0	1	0	96 (48.0)	0	0	0	0 (0.0)	

ctb, chromatid break cte, chromatid exchange

csb, chromosome break cse, chromosome exchange poly, polyploid

a: Time schedule; treatment time-recovery time

b: Water for injection (Japanese pharmacopoeia)

c: Judgment was made according to the total (%) of structural aberrations and numerical aberrations; -, negative +, positive

^{- :} Blank